

พฤติกรรมการผู้กร่อนบนผิวเหล็กกล้าไร้สนิมชนิด 304L



ศูนย์วิทยบริการ  
วิทยานิพนธ์นี้เป็นส่วนหนึ่งของการศึกษาตามหลักสูตรปริญญาวิศวกรรมศาสตรมหาบัณฑิต  
ภาควิชาช่างสำรวจ จุฬาลงกรณ์มหาวิทยาลัย  
ปีการศึกษา 2539  
1  
ISBN 974-636-294-1  
ลิขสิทธิ์ของบัณฑิตวิทยาลัย จุฬาลงกรณ์มหาวิทยาลัย

SURFACE CORROSION BEHAVIOR OF THE 304L STAINLESS STEEL

Mr. Jaran Sabseeree

ศูนย์วิทยบริการ  
A Thesis Submitted in Partial Fulfillment of the Requirements  
for the Degree of Master of Engineering in Metallurgical Engineering  
Department of Metallurgical Engineering

Graduate School

Chulalongkorn University

Academic Year 1996

ISBN 974-636-294-1

หัวข้อวิทยานิพนธ์ พฤติกรรมการผูกร่องบนผิวเหล็กกล้าไร้สนิมชนิด 304L

โดย นาย จรัส ทรัพย์เสรี

ภาควิชา วิศวกรรมโลหการ

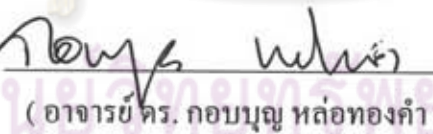
อาจารย์ที่ปรึกษา อาจารย์ ดร. กอบนุช หล่อทองคำ

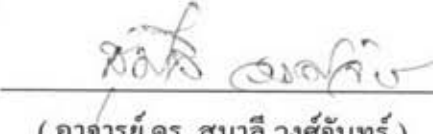
บันทึกวิทยาลัย จุฬาลงกรณ์มหาวิทยาลัย อนุมัติให้นับวิทยานิพนธ์ฉบับนี้เป็นส่วนหนึ่ง  
ของการศึกษาตามหลักสูตรมหาบัณฑิต

  
คณบดีบันทึกวิทยาลัย  
(ศาสตราจารย์ นายแพทย์ ศุภวัฒน์ ชุดวงศ์)

คณะกรรมการสอบวิทยานิพนธ์

  
ประธานกรรมการ  
(ผู้ช่วยศาสตราจารย์ ดร. อัครชัย สมศิริ)

  
อาจารย์ที่ปรึกษา  
(อาจารย์ ดร. กอบนุช หล่อทองคำ)  
  
กรรมการ  
(ผู้ช่วยศาสตราจารย์ ดร. ประสองค์ ศรีเจริญชัย)

  
กรรมการ  
(อาจารย์ ดร. สุมาลี วงศ์จันทร์)

# พิมพ์ด้านฉบับทั้งอวิทยานิพนธ์ภายในการอบรมสีเขียวนี้เพียงแผ่นเดียว

ชื่อ ทรัพย์เสรี : พฤติกรรมการผุกร่อนบนผิวเหล็กกล้าไร้สนิมชนิด 304L  
( SURFACE CORROSION BEHAVIOR OF THE 304L STAINLESS STEEL )  
อ. ที่ปรึกษา : ดร. กอบบุญ หล่อทองคำ ; 92 หน้า. ISBN 974-636-294-1

งานวิจัยนี้ศึกษาหาดูดิกรรมการผุกร่อนบนผิวเหล็กกล้าไร้สนิมชนิด 304L ในสารละลายน้ำไฮโดรคลอริกสารละลายน้ำโซเดียมคลอไรด์ และสารละลายน้ำของสารประกอบหั่งสอง ที่ความเข้มข้นและอุณหภูมิต่าง ๆ โดยการวัดเส้นโพลาไรเซชันและวิเคราะห์องค์ประกอบของชั้นฟิล์มที่ผิวตัวเยื่อง XPS ชั้นฟิล์มนี้ที่ผิวเหล็กกล้าไร้สนิมชนิด 304L เรียงตามลำดับจากผิวฟิล์มนอกสุดเข้าไปในเนื้อโลหะ ประกอบด้วยชั้นไฮดรอกไซด์ของโลหะ ชั้นอนออกไซด์ของโลหะ ชั้นอนออกไซด์ของไฮเมทิมร่วมอยู่กับโลหะเหล็กและนิกเกิล ความหนาชั้นฟิล์มนี้ค่าประมาณ 3-4 นาโนเมตร

องค์ประกอบของชั้นฟิล์มนี้ที่ผิวเหล็กกล้าไร้สนิมชนิด 304L ที่ผ่านการทำปฏิกิริยากับสารละลายตั้งแต่ร่อง จะเข็นอยู่กับความเข้มข้นและอุณหภูมิของสารละลายน้ำ เมื่อความเข้มข้นของสารละลายน้ำไฮโดรคลอริกหรือความเข้มข้นรวมของคลอไรด์ในสารละลายน้ำของสารประกอบไฮดรอกไซด์และโซเดียมคลอไรด์เพิ่มขึ้น สัดส่วนของโลหะไฮดรอกไซด์ในชั้นฟิล์มนี้แนวโน้มเพิ่มขึ้น แต่สัดส่วนของโลหะอนออกไซด์ และสัดส่วนของชาตุไฮเมทิมและของเหล็กมีแนวโน้มลดลง ความหนาแน่นกระแทกของชั้นฟิล์มนี้เพิ่มขึ้น ศักยภาพที่ทางการเกิดครุภัณฑ์ในกรดไฮดรอกไซด์ในชั้นฟิล์มนี้แนวโน้มเพิ่มขึ้น แต่แนวโน้มสัดส่วนของชาตุไฮเมทิมไม่เปลี่ยนแปลง ความหนาแน่นกระแทกของชั้นฟิล์มนี้เพิ่มขึ้น ศักยภาพที่ทางการเกิดครุภัณฑ์

โดยทั่วไป การเพิ่มอุณหภูมิทำให้องค์ประกอบของชั้นฟิล์มนี้แนวโน้มลดสัดส่วนของชาตุไฮเมทิมและเหล็ก และมีแนวโน้มลดสัดส่วนของอนออกไซด์ในชั้นฟิล์มนี้ที่ผ่านการทำปฏิกิริยากับสารละลายน้ำไฮโดรคลอริกหรือสารละลายน้ำของสารประกอบไฮดรอกไซด์กับโซเดียมคลอไรด์ แต่สัดส่วนของอนออกไซด์ในฟิล์มนี้แนวโน้มเพิ่มขึ้น ในกรณีที่ฟิล์มผ่านการทำปฏิกิริยากับสารละลายน้ำโซเดียมคลอไรด์ ชั้นฟิล์มนี้ที่วิเคราะห์หั่งหมวดไม่พบว่ามีคลอไรด์เป็นองค์ประกอบร่วม คลอไรด์มีผลทำลายเสถียรภาพของฟิล์ม ผลการทดลองสนับสนุนกลไกการเกิดชั้นฟิล์ม ตามสมบูรณ์การเกิดคือไฟไหม้ในชั้นของน้ำ

# #C718180 : MAJOR METALLURGICAL ENGINEERING  
KEY WORD: XPS / HYDROCHLORIC ACID / SODIUM CHLORIDE / SURFACE FILM /  
304L STAINLESS STEEL

JARAN SABSEREE : SURFACE CORROSION BEHAVIOR OF THE 304L

STAINLESS STEEL. THESIS ADVISOR : Dr.-Ing. GOBBOON LOTHONGKUM

192 pp. ISBN 974-636-294-1

Surface corrosion behavior of 304L stainless steel in hydrochloric acid, sodium chloride, and mixtures of both solutions was investigated by measuring polarization curves at various concentrations and temperatures. Surface films on test samples were analyzed by XPS. They were found to be composed of layers of metal hydroxide, metal oxide, a mixture of chromium oxide and metallic iron/nickel. Chemical compositions of the films depend on concentration and temperature. For the case of hydrochloric acid and mixtures of hydrochloric acid and sodium chloride solutions, increasing total chloride concentration increases the concentrations of metal hydroxide, whereas those of metal oxide, chromium, and iron are decreased. It also raises the passive current density while pitting potential is reduced.

For the case of sodium chloride solutions, increasing chloride concentration decreases metal hydroxide content of the films. It also reduces the pitting potential. However, it has negligible effects on the passive current density and the chromium content of the film.

Chromium and iron contents of the films were found to decrease with increasing solution temperature. In the samples which were treated with acid solutions, the oxygen content of the films was decreased with increasing temperature whereas that of the sodium chloride-treated was increased. Destabilizing chloride was not found in the film layers. All the results implies that the deprotonization of water is the dominant film-generating mechanism.



## กิตติกรรมประกาศ

วิทยานิพนธ์ฉบับนี้สำเร็จลุล่วงไปได้ด้วยความช่วยเหลือเป็นอย่างดีอิง ของท่านอาจารย์ ดร. กอบบุญ หล่อทองคำ อาจารย์ที่ปรึกษาวิทยานิพนธ์ ซึ่งได้ให้คำแนะนำและข้อคิดเห็นด้วย ในการวิจัยมาด้วยดีมาโดยตลอด ขอขอบพระคุณผู้ช่วยศาสตราจารย์ ดร. ฉัตรชัย สมศรี ผู้ช่วยศาสตราจารย์ ดร. ประسنศ์ ศรีเจริญชัย และอาจารย์ ดร. สุนาลี วงศ์จันทร์ คณะกรรมการสอบวิทยานิพนธ์ซึ่งได้ให้คำแนะนำที่เป็นประโยชน์ ขอขอบพระคุณท่านอาจารย์ ชาคร จาดุพิสูฐ และอาจารย์ ดร. อิทธิพล เดียววัฒชัย ที่ได้ช่วยเหลือในการตรวจสอบแก้ไขวิทยานิพนธ์ ขอขอบคุณศูนย์นวัตกรรมเทคโนโลยีไทย-ฝรั่งเศส ที่ให้ความอนุเคราะห์ให้ใช้เครื่องไฟเทนทิโอลัดในการทำการทดลอง ขอขอบคุณ Prof. T. Umeda คุณ Nakamura และ ภาควิชาวิศวกรรมโลหการ คณะวิศวกรรมศาสตร์ มหาวิทยาลัยโตเกียว ที่ให้ใช้ห้องสมุดเพื่อค้นคว้าเอกสารที่ใช้ในงานวิจัย และให้การอบรมการใช้เครื่องเอกซ์เรย์ไฟฟ้าอิเล็กตรอนสเปกโตรสโคปี ขอขอบคุณ คุณ K. Asami คุณ R. Nishimura และ คุณ A.M. Beccaria ที่ได้สละเวลาในการแสดงความคิดเห็นและตอบข้อขักด่านที่เป็นประโยชน์ต่องานวิจัยชิ้นนี้ และเนื่องจากทุนการวิจัยครั้งนี้ได้รับมาจากการสนับสนุนการวิจัยของกองทุนโลหการ สาขาวิชางานสำเร็จการศึกษา

ท้ายนี้ ผู้เขียนขอกราบขอบพระคุณ บิค่า-มารดา ซึ่งสนับสนุนในด้านการเงิน และให้กำลังใจแก่ผู้เขียนเสมอมาจนสำเร็จการศึกษา

**ศูนย์วิทยทรัพยากร  
จุฬาลงกรณ์มหาวิทยาลัย**

## สารบัญ

	หน้า
บทคัดย่อภาษาไทย.....	๑
บทคัดย่อภาษาอังกฤษ.....	๑
กิตติกรรมประกาศ.....	๙
สารบัญ.....	๙
สารบัญตาราง.....	๙
สารบัญรูป.....	๙
คำอธิบายคำย่อ.....	๙
<b>บทที่</b>	
<b>๑ บทนำ.....</b>	<b>๑</b>
1.1 ความสำคัญของงานวิจัย.....	๑
1.2 วัตถุประสงค์.....	๒
1.3 ขอบเขตของการศึกษา.....	๒
1.4 ประโยชน์ที่คาดว่าจะได้รับ.....	๒
๒ การปริทัศน์วรรณกรรม.....	๓
๓ ขั้นตอนและวิธีดำเนินการทดลอง.....	๑๕
๔ ผลการทดลองและอภิปรายผลการทดลอง.....	๑๗
4.1 ลักษณะของพิล์มนพิวเทล็กกล้าไร์สนิมชนิด 304L.....	๑๗
4.2 พฤติกรรมการผุกร่อนที่พิวของเหล็กกล้าไร์สนิมชนิด 304L ในสารละลายน้ำไฮโดรคลอริก.....	๒๔
4.3 พฤติกรรมการผุกร่อนที่พิวของเหล็กกล้าไร์สนิมชนิด 304L ในสารละลายน้ำไฮเดอรมคลอไรด์.....	๓๓
4.4 พฤติกรรมการผุกร่อนที่พิวของเหล็กกล้าไร์สนิมชนิด 304L ในสารละลายน้ำไฮเดอรมคลอไรด์และผสมของกรดไฮโดรคลอริกและไฮเดอรมคลอไรด์.....	๓๙
4.5 ผลของอุณหภูมิต่อพฤติกรรมการผุกร่อนที่พิวของเหล็กกล้าไร์สนิมชนิด 304L ในสารละลายน้ำไฮโดรคลอริก สารละลายน้ำไฮเดอรมคลอไรด์ และสารละลายน้ำไฮเดอรมคลอไรด์ .....	๕๔
4.6 ผลการวิเคราะห์คลอไรด์ที่พิวชั้นนอกของเหล็กกล้าไร์สนิมชนิด 304L ซึ่งผ่านการทำปฏิกิริยา กับสารละลายน้ำไฮเดอรมคลอไรด์.....	๖๑
4.7 ผลการคำนวณความหนาของชั้นพิล์ม.....	๖๓
4.8 ผลการทดลองกับทฤษฎีพาราซิวิต.....	๖๔

## สารบัญ ( ต่อ )

	หน้า
บทที่	
๕ สรุปผลการทดลอง.....	67
รายการอ้างอิง.....	69
ภาคผนวก ก. .....	71
ภาคผนวก ข.....	74
ภาคผนวก ค. .....	80
ประวัติผู้เขียน.....	92



**ศูนย์วิทยทรัพยากร  
จุฬาลงกรณ์มหาวิทยาลัย**

## สารบัญตาราง

ตารางที่	หน้า
2.1 แสดงผลการวิเคราะห์ผิวของ เหล็กกล้าไร้สนิมชนิด 304 ซึ่งผ่านการทำปฏิกิริยา กับสารละลายน้ำไฮดรคลอริก 0.5 โนล ผสมกับโซเดียมคลอไรด์ 1 โนล/ลิตร ที่อุณหภูมิห้อง เป็นเวลา 2 ชั่วโมง .....	13
3.1 แสดงความเข้มข้นและอุณหภูมิของสารละลายน้ำ ที่ใช้ในการทดสอบ .....	15
4.1 แสดงผลวิเคราะห์สารละลายน้ำ HCl ซึ่งผ่านการทำปฏิกิริยา กับเหล็กกล้า AISI 304L ด้วยเครื่องอะตอมนิกแอบนชอร์ฟชัน ( AA ) .....	32
4.2 แสดงค่าศักย์ไฟฟ้าที่วงจรเปิด ( Eoc ) ค่าความหนาแน่นกระแสของช่วงพาสซีฟ ( Ip ) และค่าศักย์ไฟฟ้าของ การเกิดรูพรุน ( Ep ) ของเหล็ก AISI 304L ในสารละลายน้ำ HCl ความเข้มข้นต่าง ๆ ที่อุณหภูมิ 30°C .....	32
4.3 แสดงค่าศักย์ไฟฟ้าที่วงจรเปิด ( Eoc ) ค่าความหนาแน่นกระแสของช่วงพาสซีฟ ( Ip ) และค่าศักย์ไฟฟ้าของ การเกิดรูพรุน ( Ep ) ของเหล็ก AISI 304L ในสารละลายน้ำ NaCl ความเข้มข้นต่าง ๆ ที่อุณหภูมิ 30°C .....	38
4.4 แสดงผลการวิเคราะห์ผสมของ HCl 0.1 โนล/ลิตร กับ NaCl ที่ความเข้มข้นรวมของคลอไรด์ต่างกัน โดยผ่านการทำปฏิกิริยา กับเหล็ก AISI 304L ที่อุณหภูมิห้อง เป็นเวลา 120 ชั่วโมง ( วิเคราะห์สารละลายน้ำด้วยเครื่องอะตอมนิกแอบนชอร์ฟชัน ) .....	45
4.5 แสดงค่าศักย์ไฟฟ้าที่วงจรเปิด ( Eoc ) ความหนาแน่นกระแสของช่วงพาสซีฟ ( Ip ) และศักย์ไฟฟ้าของ การเกิดรูพรุน ( Ep ) ของเหล็ก AISI 304L ในสารละลายน้ำ HCl 0.1 โนล/ลิตร กับ NaCl ที่ความเข้มข้นรวมของคลอไรด์เป็น 0.1 , 1 และ 4 โนล/ลิตร .....	46
4.6 แสดงผลการวัดเส้นโพลาไรเซชันในสารละลายน้ำไฮดรคลอริก และ/หรือโซเดียมคลอไรด์ ความเข้มข้นต่างๆ ที่อุณหภูมิ 30 , 50 และ 80 C° .....	60
ก.1 ผลการวิเคราะห์เทียบค่าพลังงานยึดเหนี่ยวที่วิเคราะห์ได้จากเครื่อง XPS และค่าพลังงานยึดเหนี่ยวมาตรฐาน .....	71
ก.2 ผลการวิเคราะห์เทียบค่าพลังงานยึดเหนี่ยวที่วิเคราะห์ได้จากเครื่อง XPS และค่าพลังงานยึดเหนี่ยวมาตรฐาน .....	72
ก.3 แสดงความคลาดเคลื่อนของการวิเคราะห์ที่ความเข้มของพิคต่าง ๆ ที่ได้จากวิเคราะห์ผิวของเหล็กกล้าไร้สนิมชนิด 304L ด้วยเครื่อง XPS .....	73
ข.1 แสดงค่าพลังงานยึดเหนี่ยวของออกซิเจน ( O1s ) ในสภาวะต่าง ๆ .....	74
ข.2 แสดงค่าพลังงานยึดเหนี่ยวของ โครเมียม ( Cr2p3/2 ) ในสภาวะต่าง ๆ .....	75
ข.3 แสดงค่าพลังงานยึดเหนี่ยวของเหล็ก ( Fe2p3/2 ) ในสภาวะต่าง ๆ .....	75

สารบัญตาราง ( ต่อ )

### สารบัญตาราง ( ต่อ )

## สารบัญ

รูปที่	หน้า
2.1 ผลของการขึ้นของ HCl ต่ออัตราการผุกร่อน และชนิดของการผุกร่อน ของเหล็กกล้าไร้สนิมชนิด 304 .....	3
2.2 เส้นโพลาไรเซชันของเหล็กกล้าไร้สนิมชนิด 304 ในสารละลายน้ำ HCl ที่ความเข้มข้นต่างๆ .....	4
2.3 ความสัมพันธ์ระหว่างอัตราการผุกร่อนของเหล็กกล้าไร้สนิมชนิด 304 กับ ความเป็นกรด ( acidity ) และปริมาณคลอไรค์ หลังจากจุ่มน้ำสารละลายที่ อุณหภูมิ 25 °C เป็นเวลา 150 ชั่วโมง .....	5
2.4 ชนิดของการเกิดการผุกร่อนมีความสัมพันธ์กับความเป็นกรดและปริมาณคลอไรค์.....	6
2.5 เส้นโพลาไรเซชันของเหล็กกล้าไร้สนิม 304 ในสารละลายน้ำ HCl และ NaCl .....	6
2.6 แสดงความสัมพันธ์ของอุณหภูมิต่อเวลาการแตกหัก ( $t_f$ ) และ อัตราการยึดตัวใน สภาพคงตัว ( $i_{\infty}$ ) ของเหล็กกล้าไร้สนิมชนิด 304 และชนิด 316 ในสารละลายน้ำ HCl ความเข้มข้น 0.82 โนมล/ลิตร ซึ่งรับความเกิน 437 เมกะปาสกาล .....	7
2.7 แสดงความสัมพันธ์ของความเข้มข้นของสารละลายน้ำ NaCl กับศักย์ไฟฟ้าของการเกิด การผุกร่อนแบบบูรพรุน และศักย์ไฟฟ้าของการป้องกันการผุกร่อนแบบบูรพรุน ของเหล็กกล้าไร้สนิมชนิด 304 ที่อุณหภูมิ 22 °C และ 64 °C .....	8
2.8 ผลการวิเคราะห์ฟิล์มของเหล็กกล้าไร้สนิม 18%Cr ซึ่งผ่านการจุ่มน้ำสารละลายน้ำ HNO <sub>3</sub> ความเข้มข้น 4 นอร์มอล ที่ช่วงพานาซีฟ และช่วงทรานส์พานาซีฟ.....	9
2.9 แสดงความหนาของชั้นฟิล์มที่เกิดขึ้นบนผิวของเหล็กกล้าไร้สนิมเฟอร์ริติกชนิด 30Cr และชนิด 30Cr-2 Mo ซึ่งผ่านการทำโพลาไรเซชันที่ศักย์ไฟฟ้าค่าต่างๆ เป็นเวลา 1 ชั่วโมง ในสารละลายน้ำ HCl เข้มข้น 1 โนมล/ลิตร .....	10
2.10 แสดงปริมาณของอิออนบวกในฟิล์มที่เกิดขึ้นบนผิวเหล็กกล้าไร้สนิมเฟอร์ริติก ชนิด 19 Cr และ 19 Cr-2 Mo ซึ่งผ่านการทำโพลาไรเซชันที่ศักย์ไฟฟ้าค่าต่างๆ เป็นเวลา 1 ชั่วโมง ในสารละลายน้ำ HCl เข้มข้น 1 โนมล/ลิตร .....	11
2.11 แสดงปริมาณของ O <sup>2-</sup> , OH <sup>-</sup> , Cl <sup>-</sup> และ น้ำ ( bound water ) ต่อจำนวนอิออนบวก ในฟิล์มที่เกิดขึ้นบนผิวเหล็กกล้าไร้สนิมเฟอร์ริติกชนิด 19Cr และ 19Cr-Mo ซึ่ง ผ่านการทำโพลาไรเซชันที่ศักย์ไฟฟ้าค่าต่างๆ เป็นเวลา 1 ชั่วโมง ในสารละลายน้ำ HCl เข้มข้น 1 โนมล/ลิตร .....	11

## สารบัญรูป ( ต่อ )

รูปที่	หน้า
4.10 ผลการวิเคราะห์โคโรเมียม ( Cr2p ) ด้วยเครื่อง XPS ที่ผิวของเหล็ก AISI 304L หลังผ่านการทำปฏิกิริยา กับสารละลายน HCl ที่ความเข้มข้นต่าง ๆ ที่อุณหภูมิห้อง เป็นเวลา 120 ชั่วโมง .....	29
4.11 ผลของความเข้มข้นของ HCl ต่อความเข้มของพิคโคโรเมียมที่ผิวของเหล็ก AISI 304L หลังผ่านการทำปฏิกิริยา กับสารละลายน HCl ที่ความเข้มข้นต่าง ๆ ที่อุณหภูมิห้อง เป็นเวลา 120 ชั่วโมง .....	29
4.12 ผลของความเข้มข้นของ HCl ต่อความเข้มของพิคเหล็กที่ผิวของเหล็ก AISI 304L หลังผ่านการทำปฏิกิริยา กับสารละลายน HCl ที่ความเข้มข้นต่าง ๆ ที่อุณหภูมิห้อง เป็นเวลา 120 ชั่วโมง .....	30
4.13 ผลการวิเคราะห์เหล็ก ( Fe2p <sub>3/2</sub> ) ด้วยเครื่อง XPS ที่ผิวของเหล็ก AISI 304L หลังผ่านการทำปฏิกิริยา กับสารละลายน HCl ที่ความเข้มข้นต่าง ๆ ที่อุณหภูมิห้อง เป็นเวลา 120 ชั่วโมง .....	30
4.14 ผลการวิเคราะห์nickel ( Ni2p <sub>3/2</sub> ) ด้วยเครื่อง XPS ที่ผิวของเหล็ก AISI 304L หลังผ่านการทำปฏิกิริยา กับสารละลายน HCl ที่ความเข้มข้นต่าง ๆ ที่อุณหภูมิห้อง เป็นเวลา 120 ชั่วโมง .....	31
4.15 แสดงผลการวัดเส้นโพลาไรเซชันของเหล็ก AISI 304 L ในสารละลายน HCl ความเข้มข้น 0.01 , 0.1 และ 1 ไมล์/ลิตร ที่อุณหภูมิ 30 ° C .....	31
4.16 ผลการวิเคราะห์ออกซิเจน ( O <sub>1s</sub> ) ด้วยเครื่อง XPS ที่ผิวของเหล็ก AISI 304L หลังผ่านการทำปฏิกิริยา กับสารละลายน NaCl ที่ความเข้มข้นต่าง ๆ ที่อุณหภูมิห้อง เป็นเวลา 120 ชั่วโมง .....	35
4.17 ผลของความเข้มข้นของ NaCl ต่อความเข้มของพิคออกซิเจนที่ผิวของเหล็ก AISI 304L หลังผ่านการทำปฏิกิริยา กับสารละลายน NaCl ที่ความเข้มข้นต่าง ๆ ที่อุณหภูมิห้อง เป็นเวลา 120 ชั่วโมง .....	35
4.18 แสดงผลการวิเคราะห์ออกซิเจน ( O <sub>1s</sub> ) ด้วยเครื่อง XPS ที่ผิวของเหล็ก AISI 304L หลังผ่านการทำปฏิกิริยา กับสารละลายน NaCl เข้มข้น 4 ไมล์/ลิตร ที่อุณหภูมิห้อง เป็นเวลา 120 ชั่วโมง โดยอ้างอิงชื่นงานของวิเคราะห์เป็นมุม 0°, 60° และ 80° .....	36
4.19 ผลการวิเคราะห์โคโรเมียม ( Cr2p ) ด้วยเครื่อง XPS ที่ผิวของเหล็ก AISI 304L หลังผ่านการทำปฏิกิริยา กับสารละลายน NaCl ที่ความเข้มข้นต่าง ๆ ที่อุณหภูมิห้อง เป็นเวลา 120 ชั่วโมง .....	36

## สารบัญรูป ( ต่อ )

รูปที่		หน้า
4.20	ผลของความเข้มข้นของ NaCl ต่อความเข้มของพิคเหล็กที่ผิวของเหล็ก AISI 304L หลังผ่านการปฏิกริยากับสารละลายน้ำ NaCl ที่ความเข้มข้นต่าง ๆ ที่อุณหภูมิห้อง เป็นเวลา 120 ชั่วโมง .....	37
4.21	ผลการวิเคราะห์เหล็ก ( Fe2p3/2 ) ด้วยเครื่อง XPS ที่ผิวของเหล็ก AISI 304L หลังผ่านการทำปฏิกริยากับสารละลายน้ำ NaCl ที่ความเข้มข้นต่าง ๆ ที่อุณหภูมิห้อง เป็นเวลา 120 ชั่วโมง .....	37
4.22	แสดงผลการวัดเส้นโพลาไรร์ชันของเหล็ก AISI 304 L ในสารละลายน้ำ NaCl ที่ความเข้มข้น 0.1 , 0.4 และ 1 มิลลิตร กับ NaCl ที่อุณหภูมิ 30 ° C .....	38
4.23	ผลการวิเคราะห์ออกซิเจน ( O1s ) ด้วยเครื่อง XPS ที่ผิวของเหล็ก AISI 304L หลังผ่านการทำปฏิกริยากับสารละลายน้ำ HCl 0.1 มิลลิตรกับ NaCl ที่ความเข้มข้นรวมของคลอไครด์ต่างกัน ที่อุณหภูมิห้อง เป็นเวลา 120 ชั่วโมง .....	41
4.24	ผลการวิเคราะห์ออกซิเจน ( O1s ) ด้วยเครื่อง XPS ที่ผิวของเหล็ก AISI 304L หลังผ่านการทำปฏิกริยากับสารละลายน้ำ HCl 0.1 มิลลิตรกับ NaCl ที่ความเข้มข้นรวมของคลอไครด์ต่างกัน ที่อุณหภูมิห้อง เป็นเวลา 120 ชั่วโมง .....	41
4.25	ผลของความเข้มข้นของคลอไครด์ต่อความเข้มของพิคออกซิเจนที่ผิวของเหล็ก AISI 304L หลังผ่านการทำปฏิกริยากับสารละลายน้ำ HCl 0.1 มิลลิตร กับ NaCl ที่ความเข้มข้นรวมของคลอไครด์ต่างกัน ที่อุณหภูมิห้อง เป็นเวลา 120 ชั่วโมง .....	42
4.26	ผลการวิเคราะห์โครเมียม ( Cr2p ) ด้วยเครื่อง XPS ที่ผิวของเหล็ก AISI 304L หลังผ่านการทำปฏิกริยากับสารละลายน้ำ HCl 0.1 มิลลิตรกับ NaCl ที่ความเข้มข้นรวมของคลอไครด์ต่างกัน ที่อุณหภูมิห้อง เป็นเวลา 120 ชั่วโมง .....	42
4.27	ผลของความเข้มข้นรวมของคลอไครด์ต่อความเข้มของพิคโครเมียมที่ผิวของเหล็ก AISI 304L หลังผ่านการทำปฏิกริยากับสารละลายน้ำ HCl 0.1 มิลลิตร กับ NaCl ที่ความเข้มข้นรวมของคลอไครด์ต่างกัน ที่อุณหภูมิห้อง เป็นเวลา 120 ชั่วโมง .....	43
4.28	ผลของความเข้มข้นรวมของคลอไครด์ต่อความเข้มของพิคเหล็กที่ผิวของเหล็ก AISI 304L หลังผ่านการทำปฏิกริยากับสารละลายน้ำ HCl 0.1 มิลลิตร กับ NaCl ที่ความเข้มข้นรวมของคลอไครด์ต่างกัน ที่อุณหภูมิห้อง เป็นเวลา 120 ชั่วโมง .....	43

## สารบัญรูป ( ต่อ )

รูปที่	หน้า
4.29 ผลการวิเคราะห์เหล็ก ( Fe2p3/2 ) ด้วยเครื่อง XPS ที่ผิวของเหล็ก AISI 304L หลังผ่านการทำปฏิกิริยา กับสารละลายน้ำของ HCl 0.1 โมล/ลิตร กับ NaCl ที่ความเข้มข้นรวมของคลอไรด์ต่างกัน ที่อุณหภูมิห้อง เป็นเวลา 120 ชั่วโมง.....	44
4.30 ผลการวิเคราะห์นิกเกล ( Ni2p3/2 ) ด้วยเครื่อง XPS ที่ผิวของเหล็ก AISI 304L หลังผ่านการทำปฏิกิริยา กับสารละลายน้ำของ HCl 0.1 โมล/ลิตร กับ NaCl ที่ความเข้มข้นรวมของคลอไรด์ต่างกัน ที่อุณหภูมิห้อง เป็นเวลา 120 ชั่วโมง .....	44
4.31 แสดงเส้นโพลาไรร์ชันของเหล็ก AISI 304L ในสารละลายน้ำของ HCl 0.1 โมล/ลิตร กับ NaCl ที่ความเข้มข้นรวมของคลอไรด์เท่ากัน 0.1 , 1 และ 4 โมล/ลิตร ที่อุณหภูมิ 30 °C .....	45
4.32 ผลการวิเคราะห์ออกซิเจน ( O1s ) ด้วยเครื่อง XPS ที่ผิวของเหล็ก AISI 304L หลังผ่านการทำปฏิกิริยา กับสารละลายน้ำของ HCl ที่ความเข้มข้นต่างๆ กับ NaCl ที่ความเข้มข้นรวมของคลอไรด์เท่ากัน 1 โมล/ลิตร ที่อุณหภูมิห้อง เป็นเวลา 120 ชั่วโมง .....	49
4.33 ผลการวิเคราะห์ออกซิเจน ( O1s ) ด้วยเครื่อง XPS ที่ผิวของเหล็ก AISI 304L หลังผ่านการทำปฏิกิริยา กับสารละลายน้ำของ HCl ที่ความเข้มข้นต่างๆ กับ NaCl ที่ความเข้มข้นรวมของคลอไรด์เท่ากัน 4 โมล/ลิตร ที่อุณหภูมิห้อง เป็นเวลา 120 ชั่วโมง .....	49
4.34 ผลของความเข้มข้นของ HCl ต่อความเข้มของพิคออกซิเจนที่ผิวของเหล็ก AISI 304L หลังผ่านการทำปฏิกิริยา กับสารละลายน้ำของ HCl ที่ความเข้มข้นต่างๆ กับ NaCl ที่ความเข้มข้นรวมของ Cl <sup>-</sup> เท่ากัน 4 โมล/ลิตร ที่อุณหภูมิห้อง เป็นเวลา 120 ชั่วโมง .....	50
4.35 ผลการวิเคราะห์ โครเมียม ( Cr2p ) ด้วยเครื่อง XPS ที่ผิวของเหล็ก AISI 304L หลังผ่านการทำปฏิกิริยา กับสารละลายน้ำของ HCl ที่ความเข้มข้นต่างๆ กับ NaCl ที่ความเข้มข้นรวมของคลอไรด์เท่ากัน 1 โมล/ลิตร ที่อุณหภูมิห้อง เป็นเวลา 120 ชั่วโมง .....	50
4.36 ผลของความเข้มข้นของ HCl ต่อความเข้มของพิค Cr ที่ผิวของเหล็ก AISI 304L หลังผ่านการทำปฏิกิริยา กับสารละลายน้ำของ HCl ที่ความเข้มข้นต่างๆ กับ NaCl ที่ความเข้มข้นรวมของ Cl <sup>-</sup> เท่ากัน 1 โมล/ลิตร ที่อุณหภูมิห้อง เป็นเวลา 120 ชั่วโมง .....	51

## สารบัญรูป ( ต่อ )

รูปที่		หน้า
4.37	ผลการวิเคราะห์ ไอครอนียม ( Cr2p ) ด้วยเครื่อง XPS ที่ผิวของเหล็ก AISI 304L หลังผ่านการทำปฏิกิริยา กับสารละลายน้ำตาลของ HCl ที่ความเข้มข้นต่างๆ กับ NaCl ที่ความเข้มข้นรวมของคลอไรด์เท่ากับ 4 มอล/ลิตร ที่อุณหภูมิห้อง เป็นเวลา 120 ชั่วโมง ( วิเคราะห์ด้วยเครื่อง XPS โดยไม่ผ่านการลอกผิว ) .....	51
4.38	ผลของความเข้มข้นของ HCl ต่อความเข้มของพิค Cr ที่ผิวของเหล็ก AISI 304L หลังผ่านการทำปฏิกิริยา กับสารละลายน้ำตาลของ HCl ที่ความเข้มข้นต่างๆ กับ NaCl ที่ความเข้มข้นรวมของ Cl <sup>-</sup> เท่ากับ 4 มอล/ลิตร ที่อุณหภูมิห้อง เป็นเวลา 120 ชั่วโมง .....	52
4.39	ผลของความเข้มข้นของ HCl ต่อความเข้มของพิคเหล็กที่ผิวของเหล็ก AISI 304L หลังผ่านการทำปฏิกิริยา กับสารละลายน้ำตาลของ HCl ที่ความเข้มข้นต่างๆ กับ NaCl ที่ความเข้มข้นรวมของ Cl <sup>-</sup> เท่ากับ 1 และ 4 มอล/ลิตร ที่อุณหภูมิห้อง เป็นเวลา 120 ชั่วโมง .....	52
4.40	ผลการวิเคราะห์เหล็ก ( Fe2p3/2 ) ด้วยเครื่อง XPS ที่ผิวของเหล็ก AISI 304L หลังผ่านการทำปฏิกิริยา กับสารละลายน้ำตาลของ HCl ที่ความเข้มข้นต่างๆ กับ NaCl ที่ความเข้มข้นรวมของคลอไรด์เท่ากับ 1 มอล/ลิตร ที่อุณหภูมิห้อง เป็นเวลา 120 ชั่วโมง .....	53
4.41	ผลของอุณหภูมิต่อความเข้มของพิคออกซิเจน ที่ผิวของเหล็ก AISI 304L หลังทำปฏิกิริยา กับสารละลายน้ำตาล NaCl เข้มข้น 1 มอล/ลิตร เป็นเวลา 120 ชั่วโมง ที่อุณหภูมิ 30 , 50 และ 80°C .....	53
4.42	ผลของอุณหภูมิต่อความเข้มของพิคออกซิเจน ที่ผิวของเหล็ก AISI 304L หลังทำปฏิกิริยา กับสารละลายน้ำตาล HCl เข้มข้น 0.1 และ 1 มอล/ลิตร และสารละลายน้ำตาลของ HCl 0.1 มอล กับ NaCl 0.9 มอล ในสารละลายน้ำ 1 ลิตร เป็นเวลา 120 ชั่วโมง ที่อุณหภูมิ 30 , 50 และ 80°C .....	56
4.43	ผลการวิเคราะห์ออกซิเจน ( O1s ) ด้วยเครื่อง XPS ที่ผิวเหล็ก AISI 304L หลังทำปฏิกิริยา กับสารละลายน้ำตาล NaCl เข้มข้น 1 มอล/ลิตร เป็นเวลา 120 ชั่วโมง ที่อุณหภูมิ 30 , 50 และ 80°C .....	56
4.44	ผลการวิเคราะห์ออกซิเจน ( O1s ) ด้วยเครื่อง XPS ที่ผิวเหล็ก AISI 304L หลังทำปฏิกิริยา กับสารละลายน้ำตาลของ HCl 0.1 มอล กับ NaCl 0.9 มอล ในสารละลายน้ำ 1 ลิตร เป็นเวลา 120 ชั่วโมง ที่อุณหภูมิ 30 , 50 และ 80°C .....	57

## สารบัญรูป ( ต่อ )

รูปที่	หน้า
4.45 ผลของอุณหภูมิต่อความเข้มของพิคโกรเมิญ ที่ผิวของเหล็ก AISI 304L หลังทำปฏิกิริยา กับสารละลายน HCl และ/หรือ NaCl ความเข้มข้นต่าง ๆ เป็นเวลา 120 ชั่วโมง ที่อุณหภูมิ 30 , 50 และ 80°C.....	57
4.46 ผลของอุณหภูมิต่อความเข้มของพิคเหล็กที่ผิวของเหล็ก AISI 304L หลังทำปฏิกิริยา กับสารละลายน HCl และ/หรือ NaCl ความเข้มข้นต่าง ๆ เป็นเวลา 120 ชั่วโมง ที่อุณหภูมิ 30 , 50 และ 80°C.....	58
4.47 ผลการวิเคราะห์เหล็ก ( Fe2p3/2 ) ด้วยเครื่อง XPS ที่ผิวเหล็ก AISI 304L หลังทำปฏิกิริยา กับสารละลายน NaCl เข้มข้น 1 โนล/ลิตร เป็นเวลา 120 ชั่วโมง ที่อุณหภูมิ 30 , 50 และ 80°C.....	58
4.48 ผลการวิเคราะห์เหล็ก ( Fe2p3/2 ) ด้วยเครื่อง XPS ที่ผิวเหล็ก AISI 304L หลังทำปฏิกิริยา กับสารละลายน HCl เข้มข้น 1 โนล/ลิตร เป็นเวลา 120 ชั่วโมง ที่อุณหภูมิ 30 , 50 และ 80°C.....	59
4.49 ผลการวิเคราะห์ Cl <sup>-</sup> ( Cl2p ) ด้วยเครื่อง XPS ที่ผิวชั้นนอกของเหล็ก AISI 304L หลังผ่านการทำปฏิกิริยา กับสารละลายน Cl <sup>-</sup> เข้มข้น 4 โนล/ลิตร ที่อุณหภูมิ 30 °C เป็นเวลา 120 ชั่วโมง .....	62
4.50 ผลการวิเคราะห์ Cl <sup>-</sup> ( Cl2p ) ด้วยเครื่อง XPS ที่ผิวชั้นนอกของเหล็ก AISI 304L หลังผ่านการทำปฏิกิริยา กับสารละลายน Cl <sup>-</sup> เข้มข้น 1 โนล/ลิตร ที่อุณหภูมิ 80 °C เป็นเวลา 120 ชั่วโมง .....	62
4.52 ผลการคำนวณความหนาของชั้นพิล์มของเหล็ก AISI 304L ที่ผ่านการทำปฏิกิริยา กับสารละลายนต่าง ๆ กัน.....	63
4.53 ขั้นตอนการเกิดชั้นพิล์ม โดยสมมุติฐานการเกิดคีโรฟโนในเชิงของน้ำ .....	65
4.54 แสดงแบบจำลองของชั้นพิล์มของเหล็กกล้าไร้สนิมชนิด 304L ในสารละลายนต่างๆ.....	66
ข.1 แสดงชั้นพิล์มของเหล็กกล้าไร้สนิมชนิด 304L .....	78
ข.2 แสดงพื้นของโกรเมิญที่ผิวของเหล็กกล้าไร้สนิมชนิด 304L หลังผ่านการลอกผิว เวลา t .. ....	78

## คำอธิบายคำย่อ

คำย่อ	คำเต็ม	ความหมาย
B.E.	binding energy	พลังงานขีดหนีบ
Cr-met	metallic chromium	โครเมี่ยนในสภาวะโลหะ
Cr-ox	oxidized chromium	โครเมี่ยนในสภาวะถูกออกซิไดซ์
Eoc	opened circuit potential	ศักย์ไฟฟ้าที่วงจรเปิด
Ep	pitting potential	ศักย์ไฟฟ้าของการเกิดรูพรุน
Fe-met	metallic iron	เหล็กในสภาวะโลหะ
Fe-ox	oxidized iron	เหล็กในสภาวะถูกออกซิไดซ์
Ip	passive current density	ความหนาแน่นกระแสของช่วงพาสซีฟ
M-O	metal hydroxide	โลหะไฮดรอกไซด์
M-OH	metal oxide	โลหะออกไซด์
N ( E )	number of photoelectron	จำนวนไฟฟ้าอิเล็กตรอน
Ni-met	metallic nickel	nickelในสภาวะโลหะ
Ni-ox	oxidized nickel	nickelในสภาวะถูกออกซิไดซ์
XPS	X-ray photoelectron spectroscopy	เครื่องเอกซ์เรย์ไฟฟ้าอิเล็กตรอนสเปกต์โรสโคปี

ศูนย์วิทยทรัพยากร  
จุฬาลงกรณ์มหาวิทยาลัย